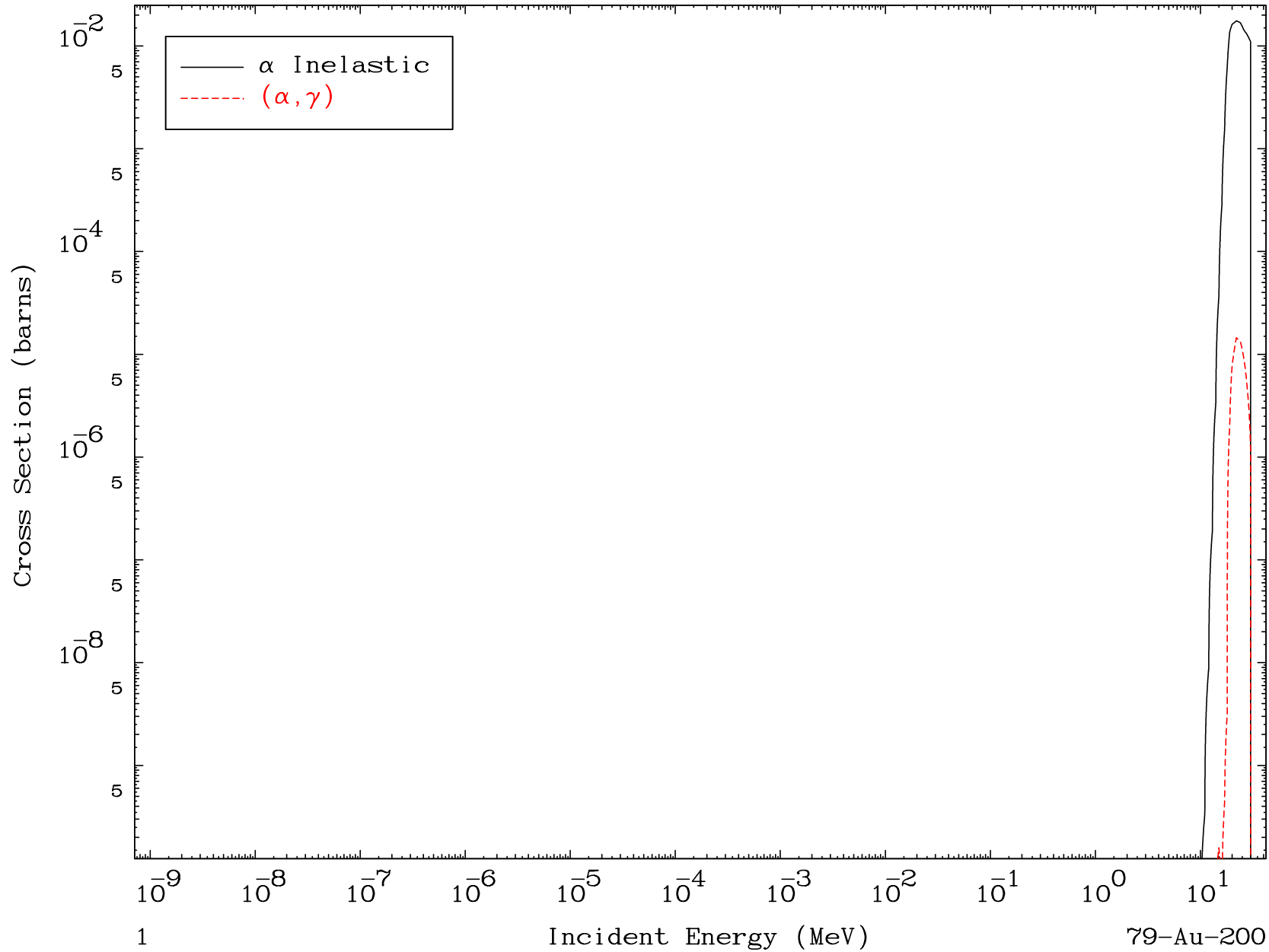
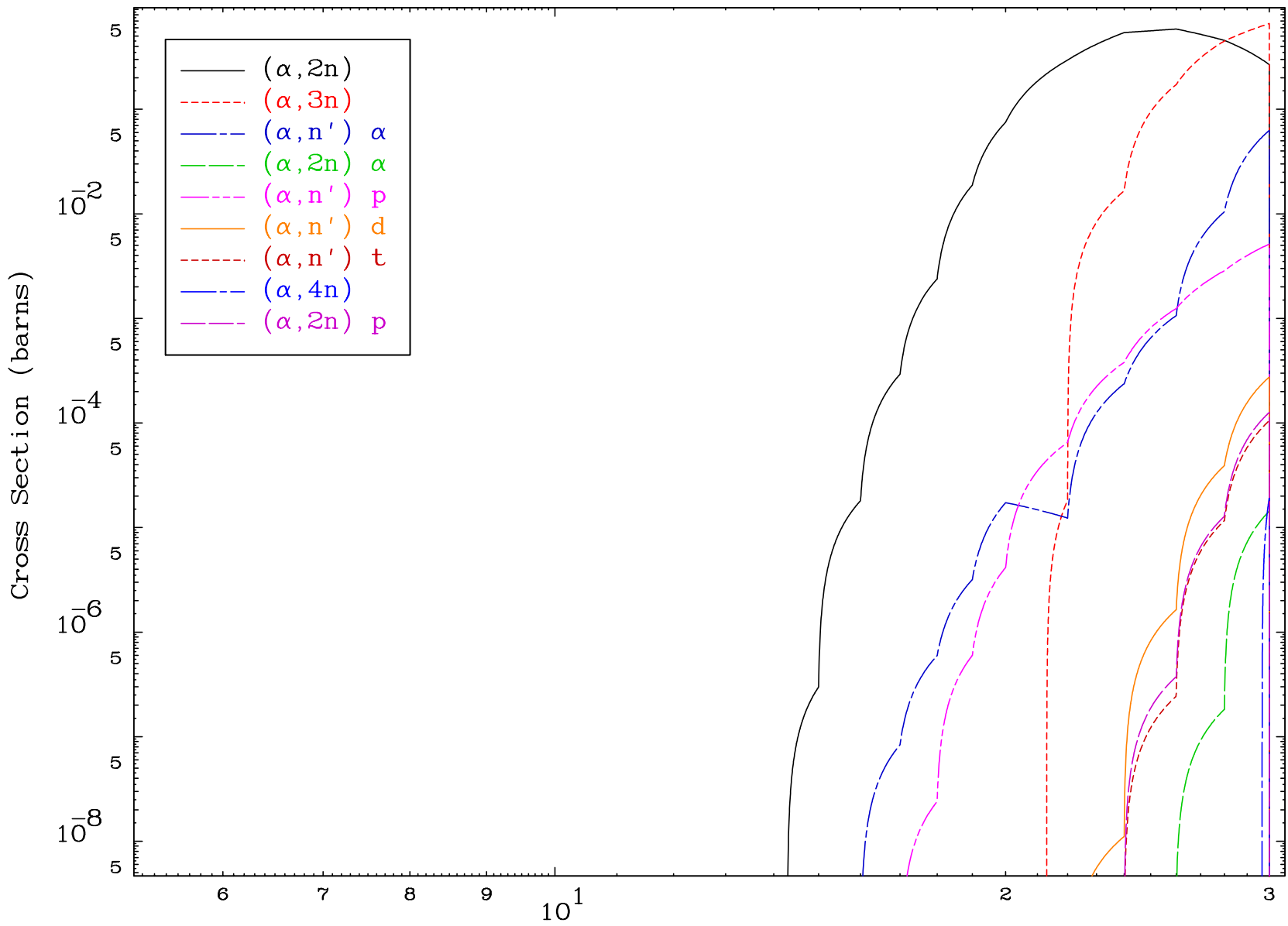


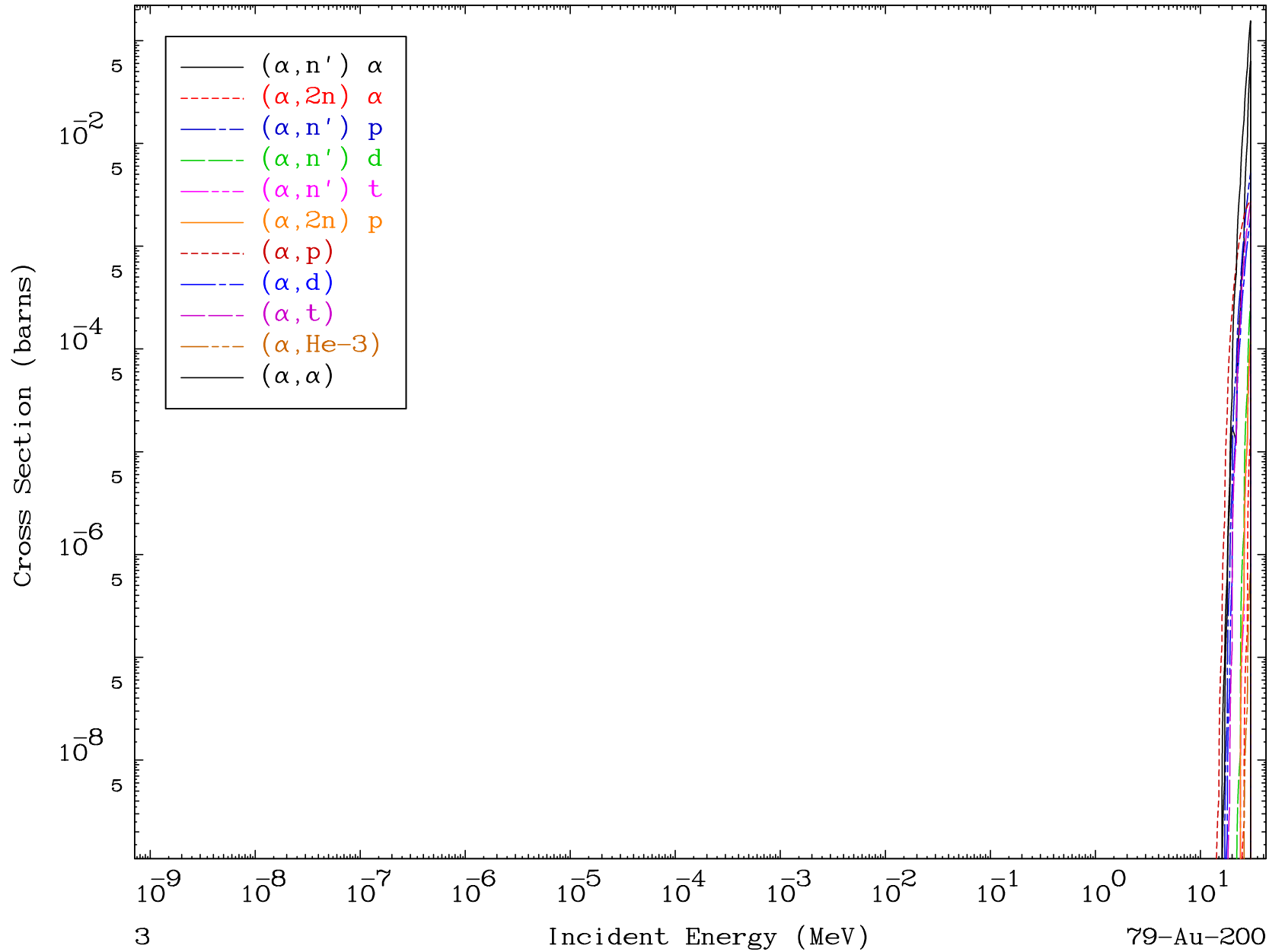
MAT 7935

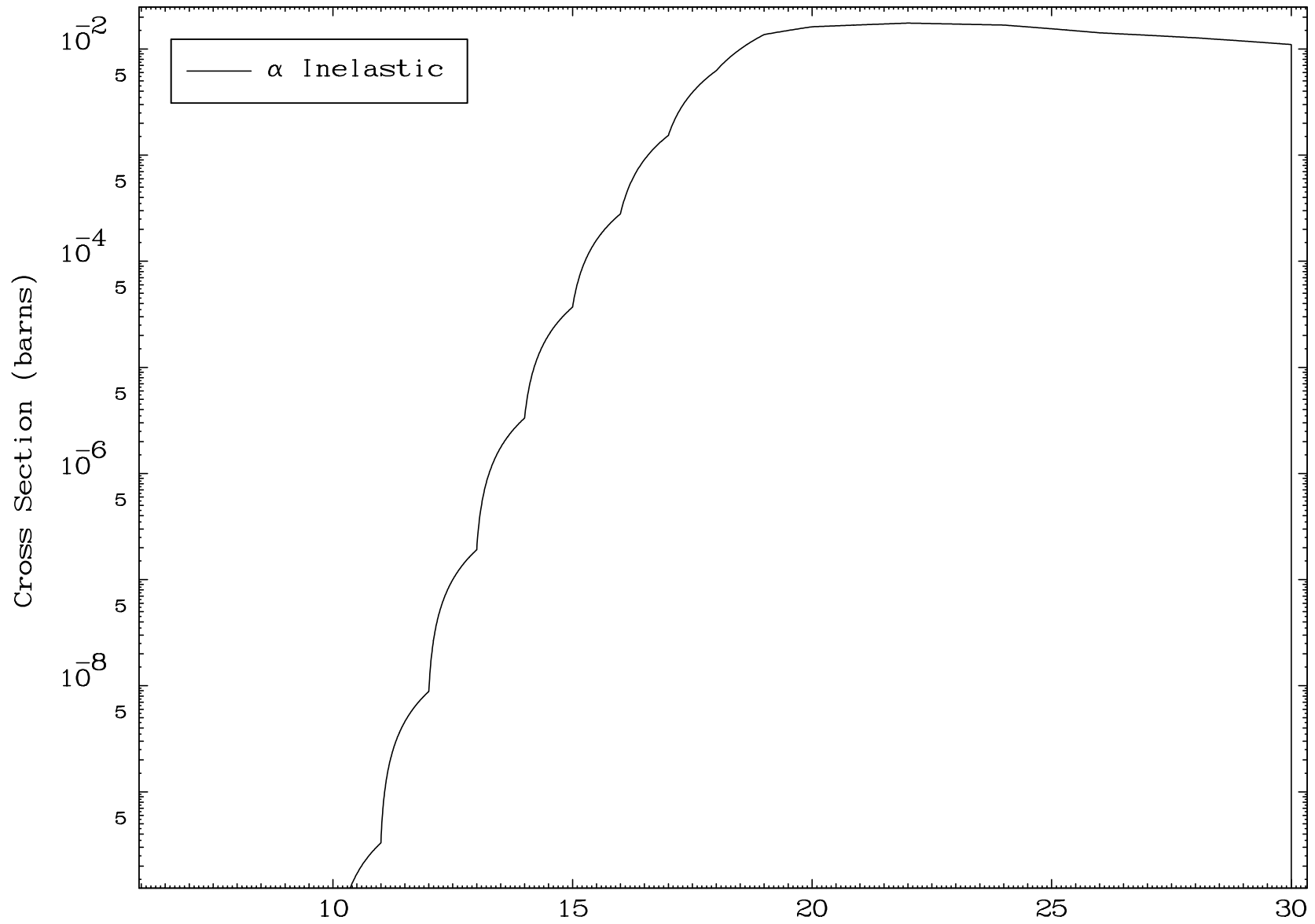
α Major
0 Kelvin Cross Sections

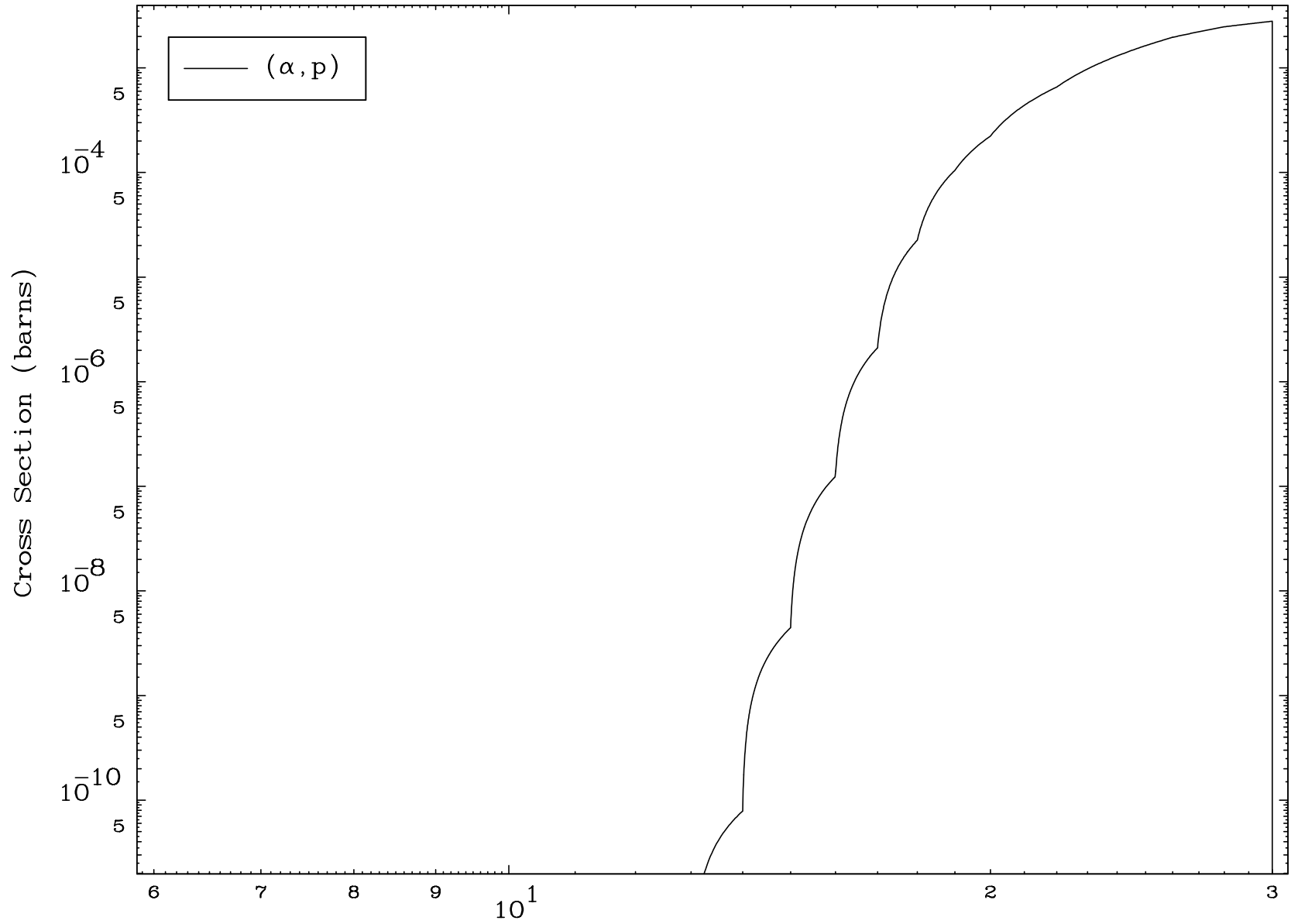
79-Au-200

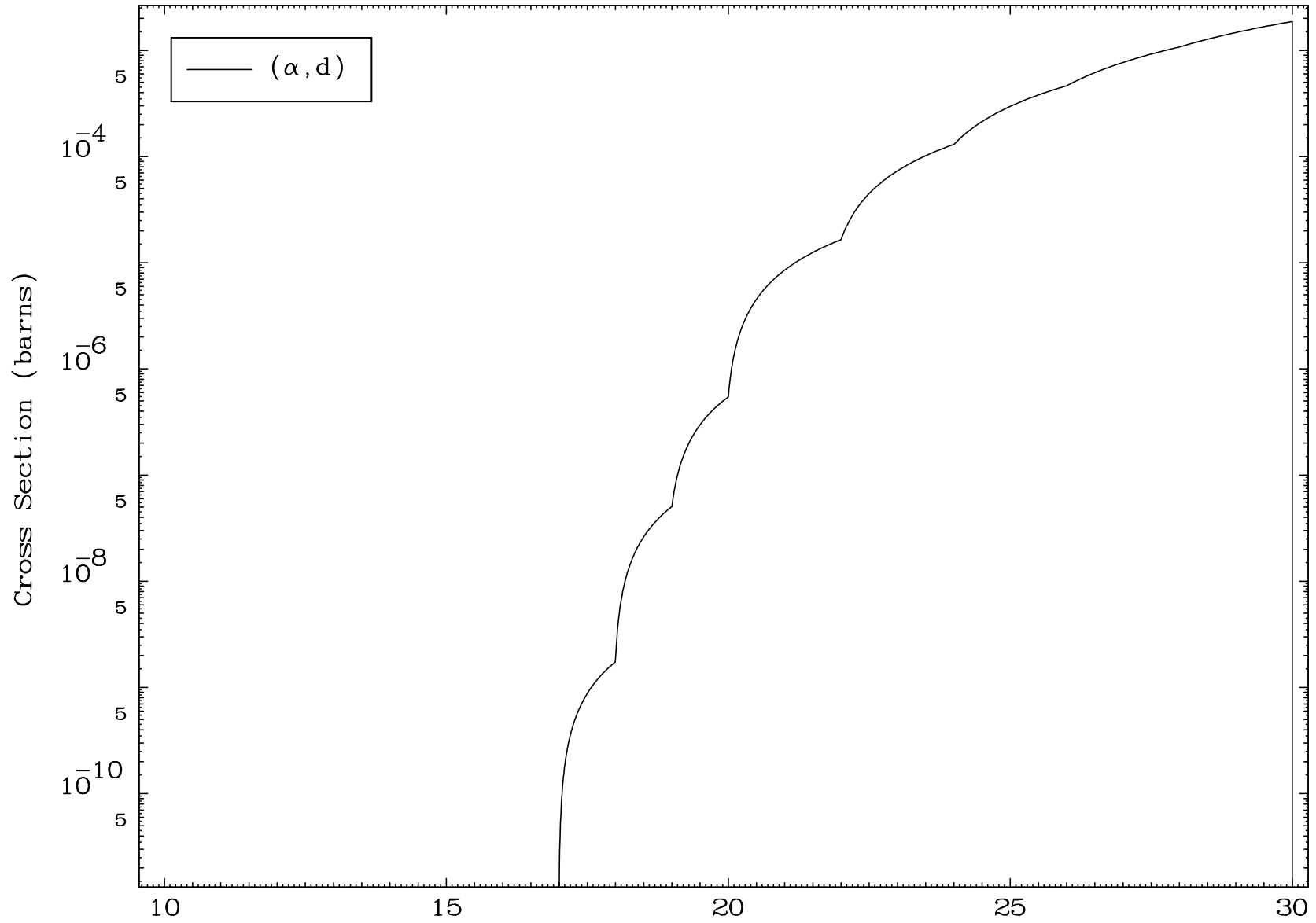


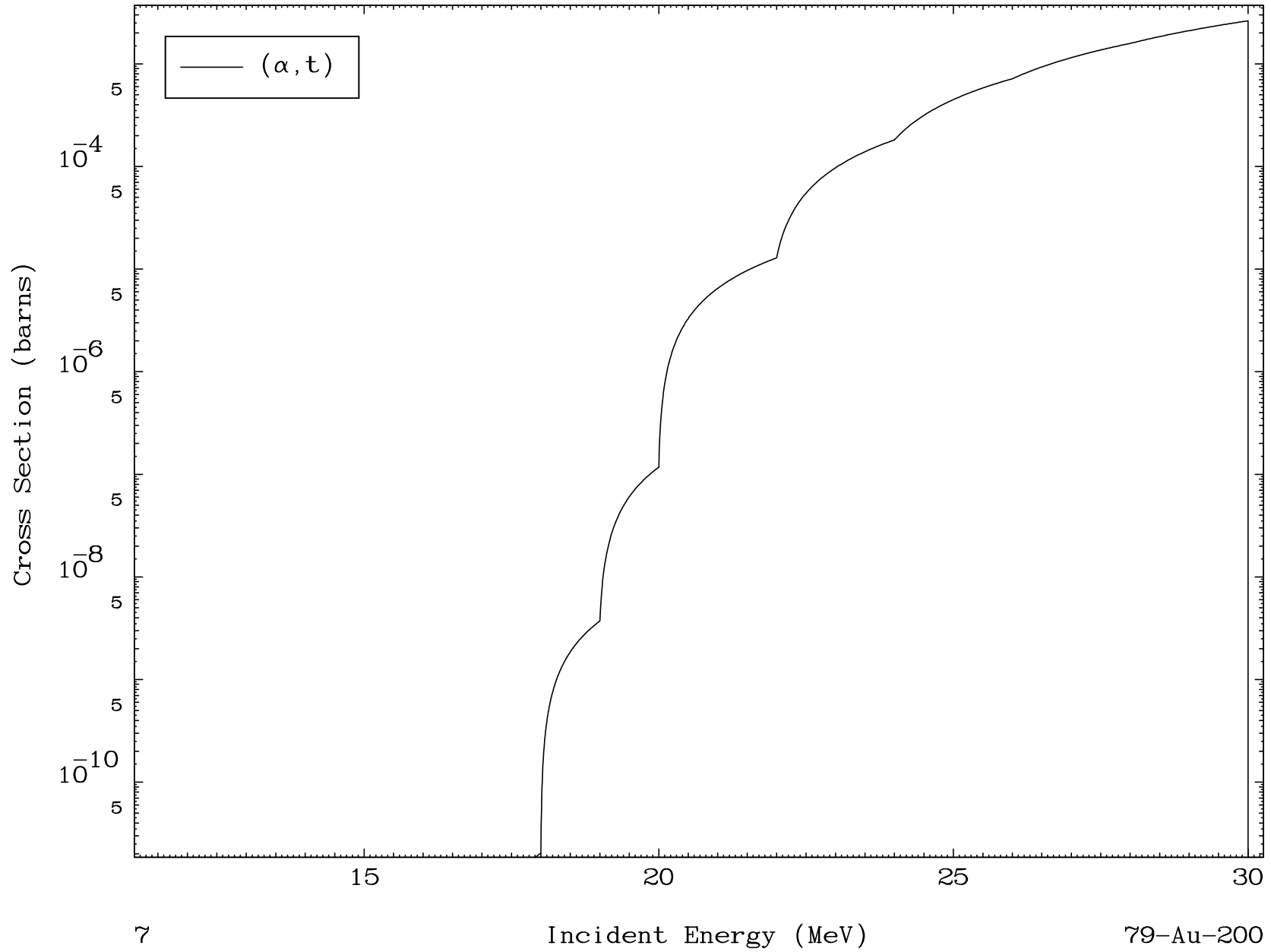


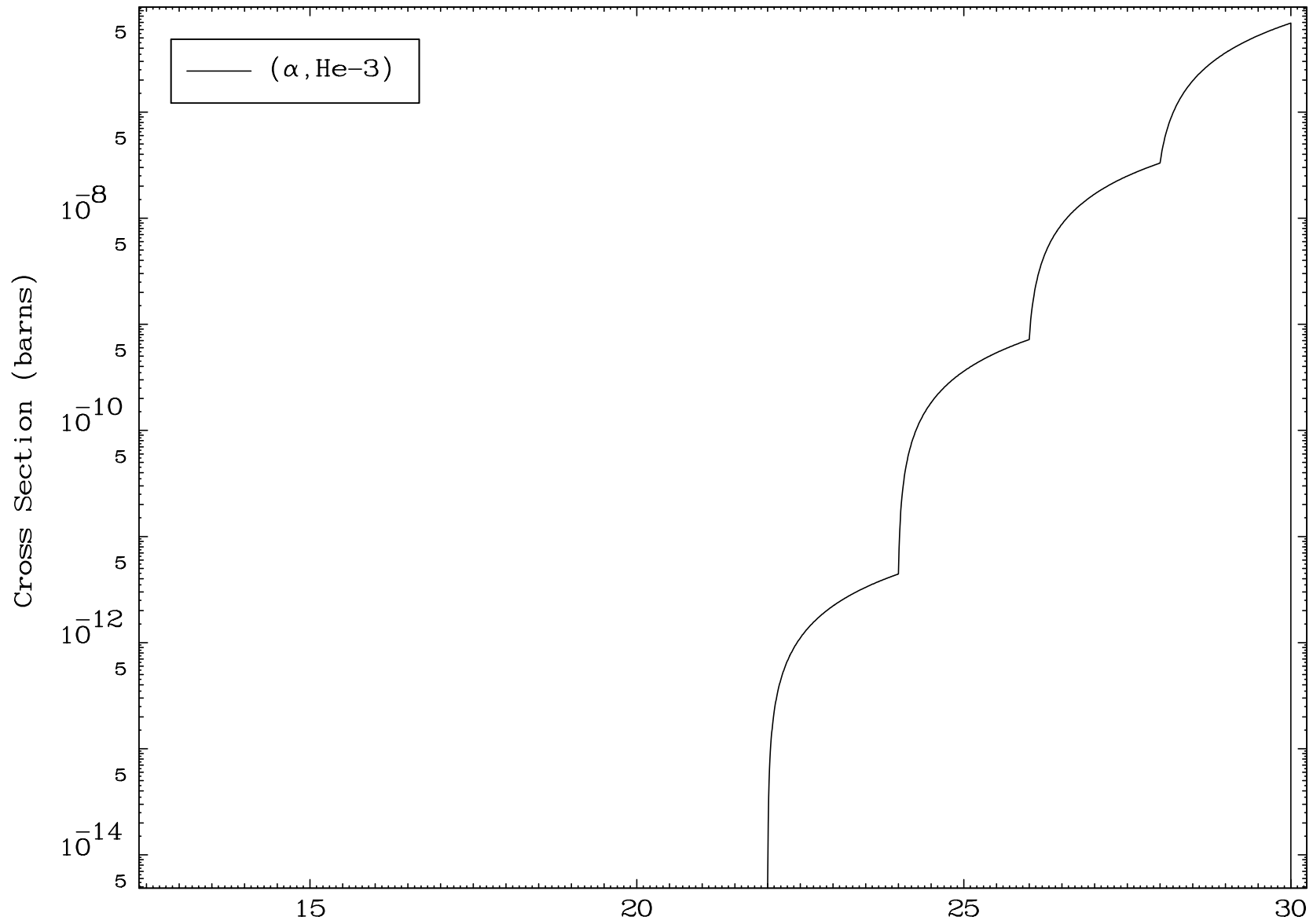


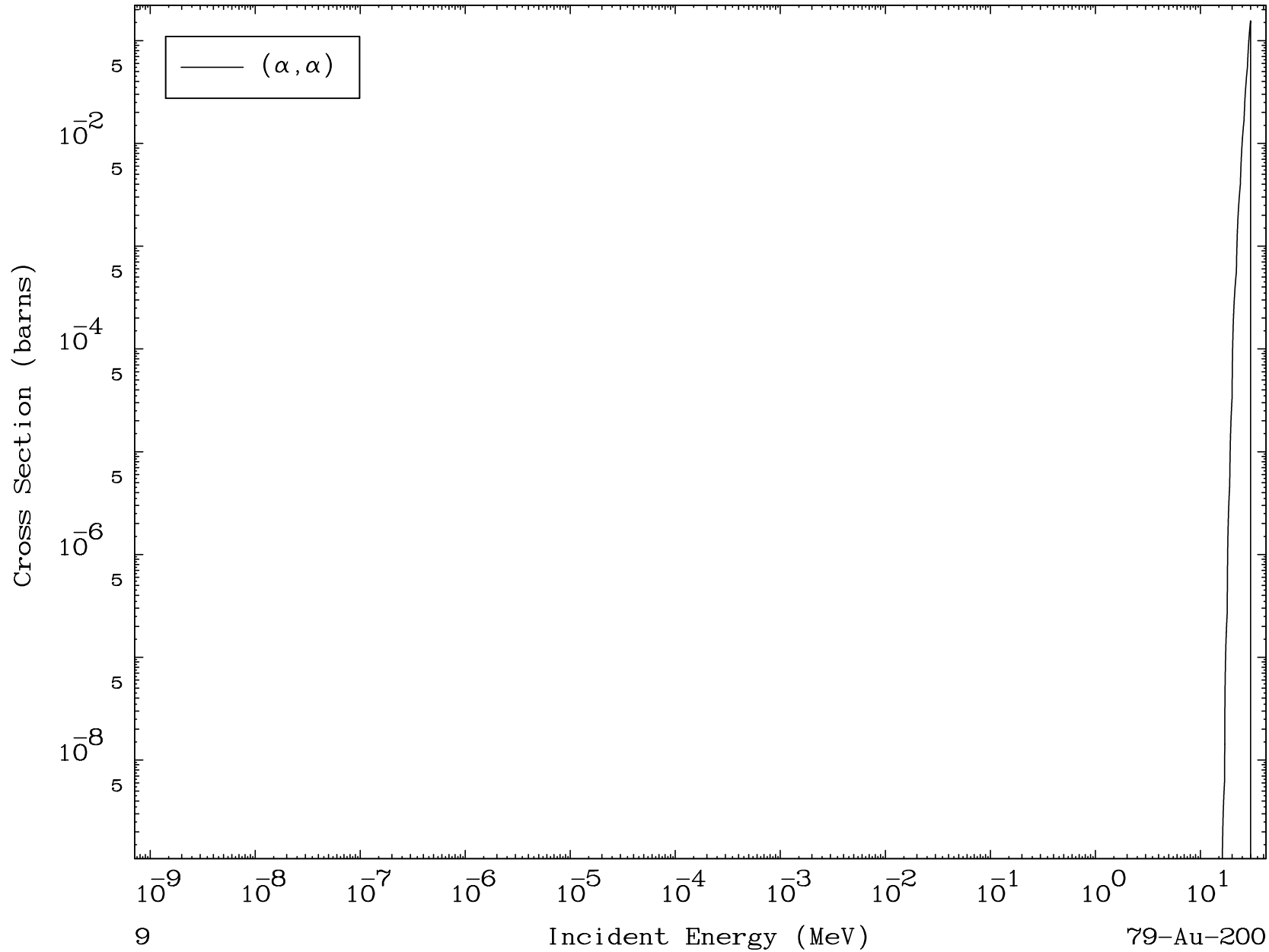










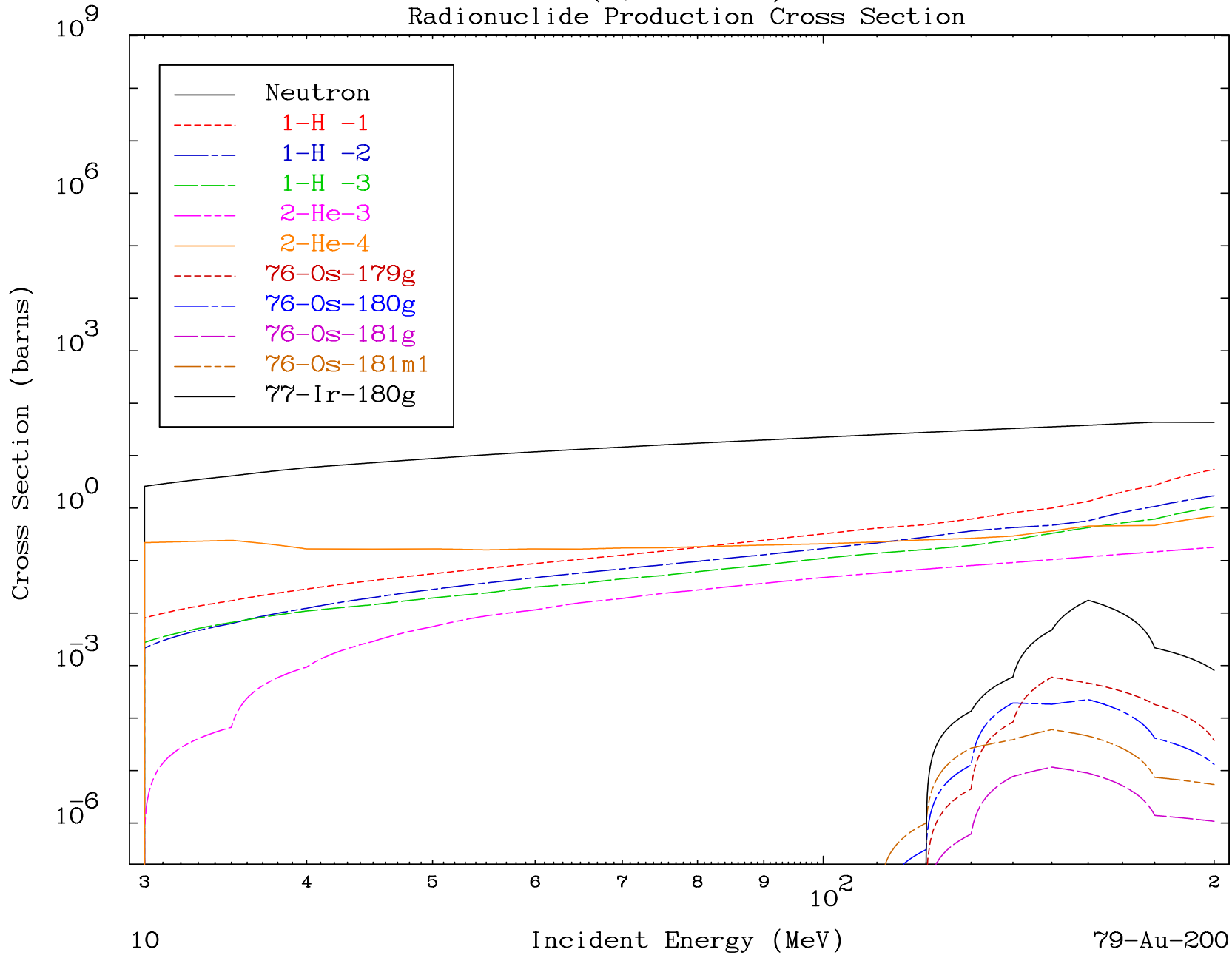


MAT 7935

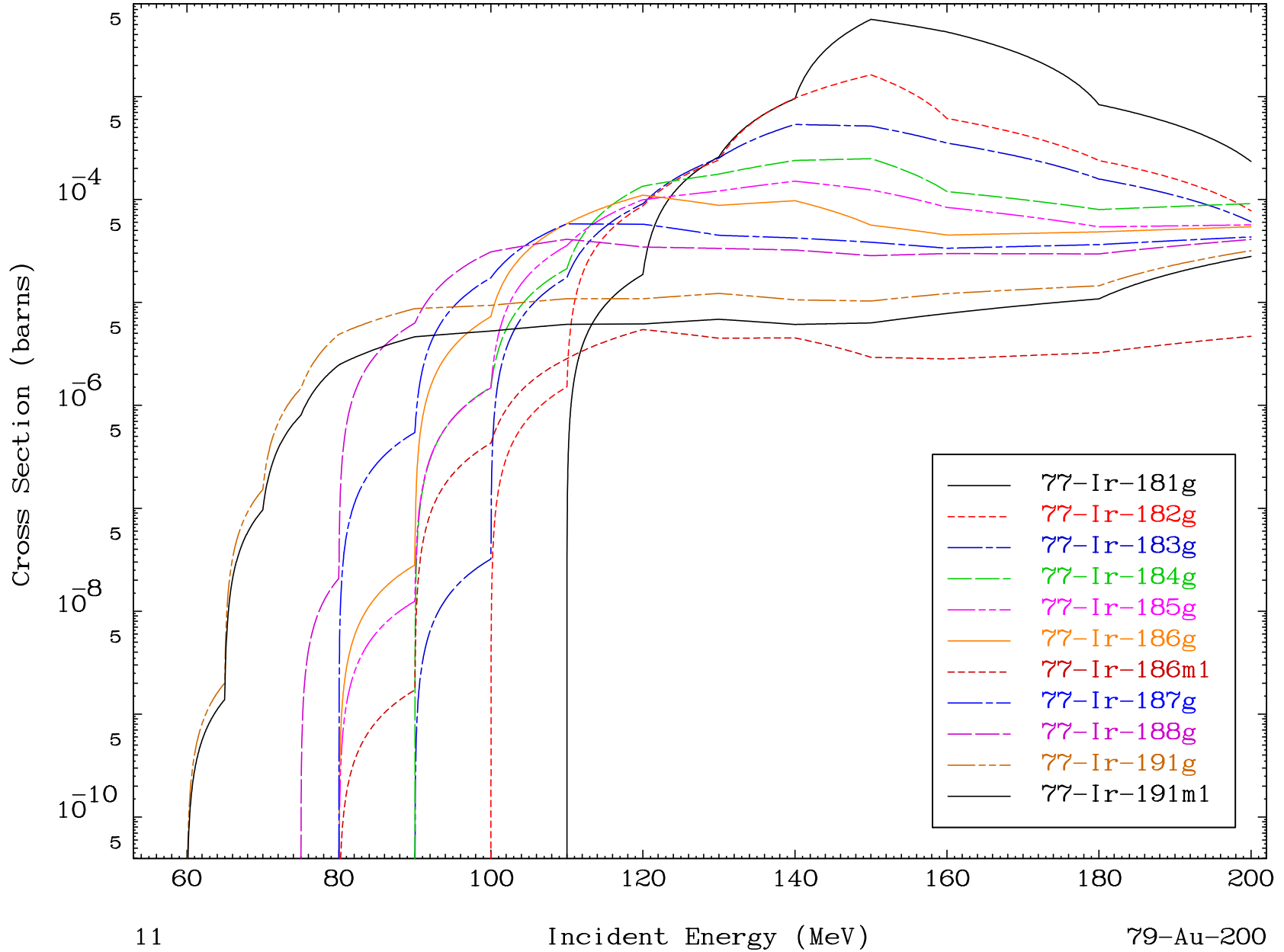
(α , remainder)

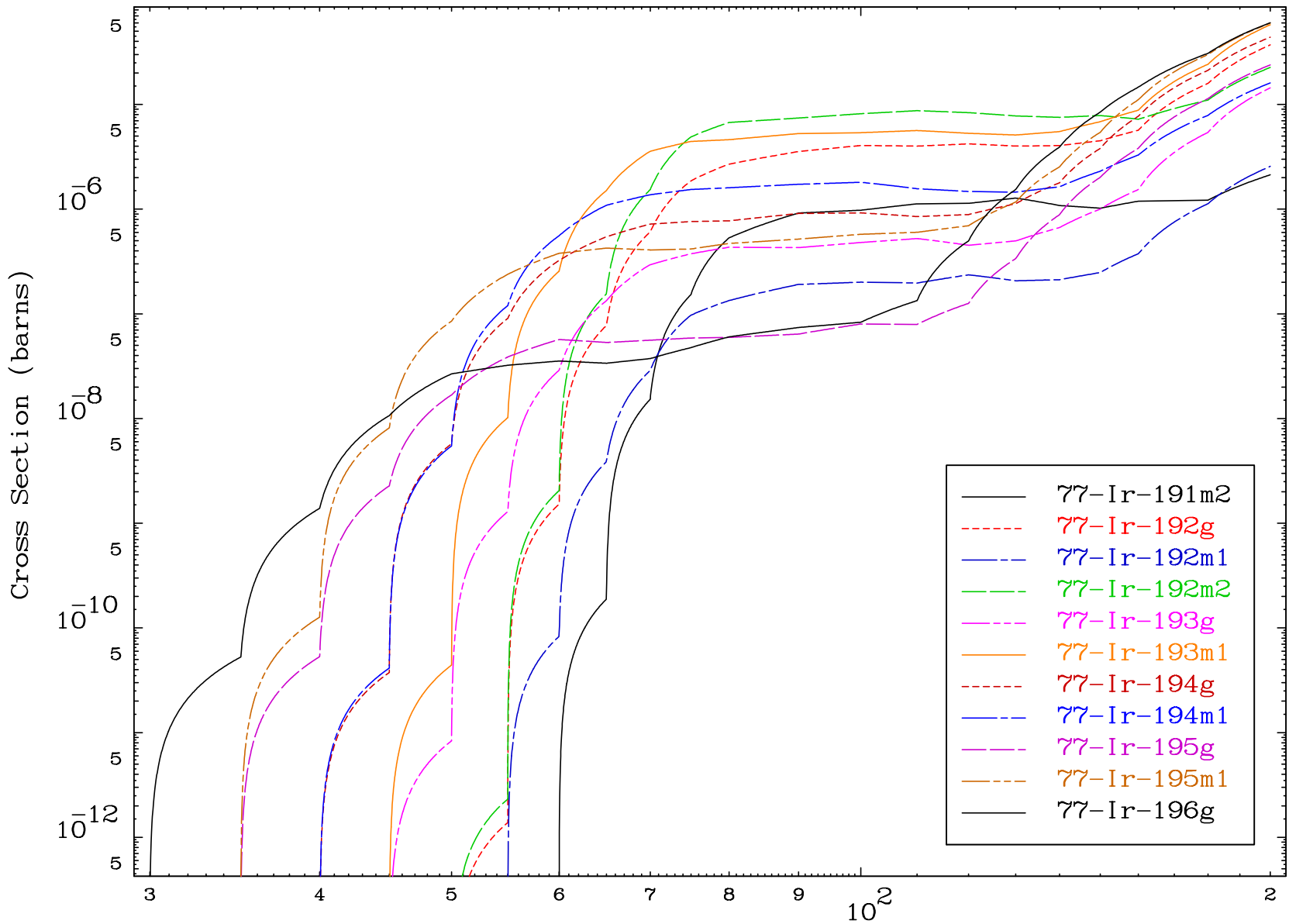
79-Au-200

Radionuclide Production Cross Section

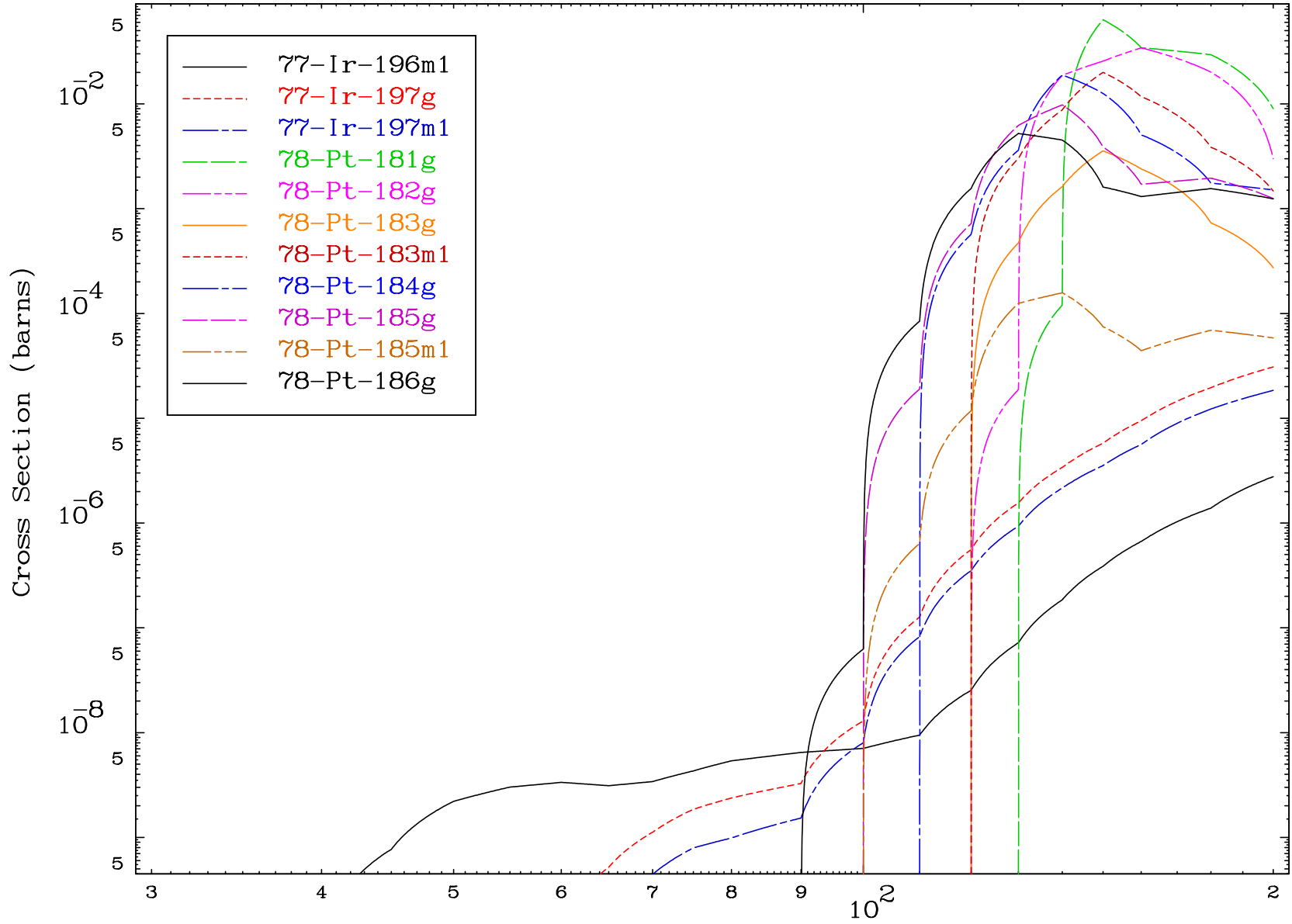


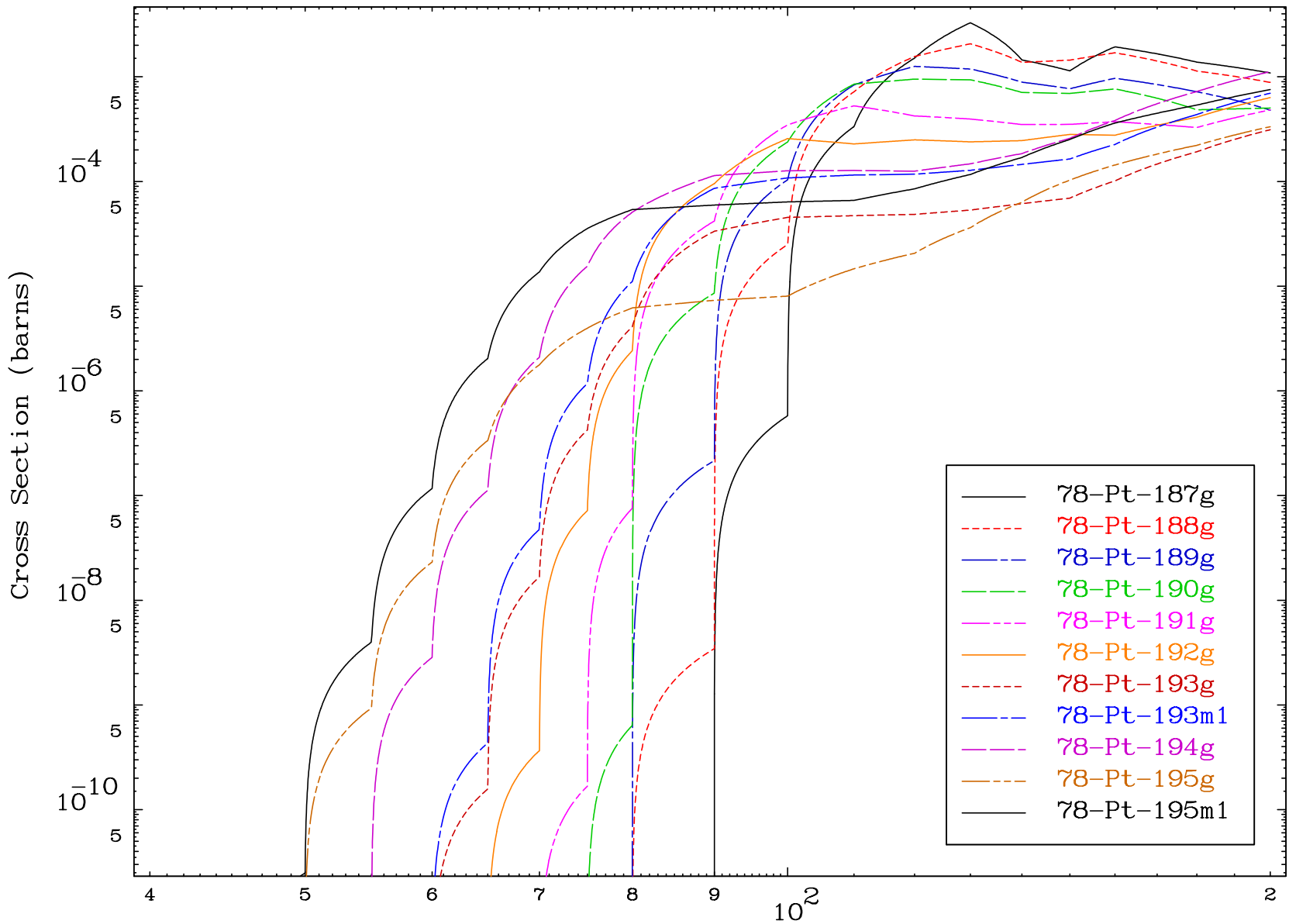
Radionuclide Production Cross Section



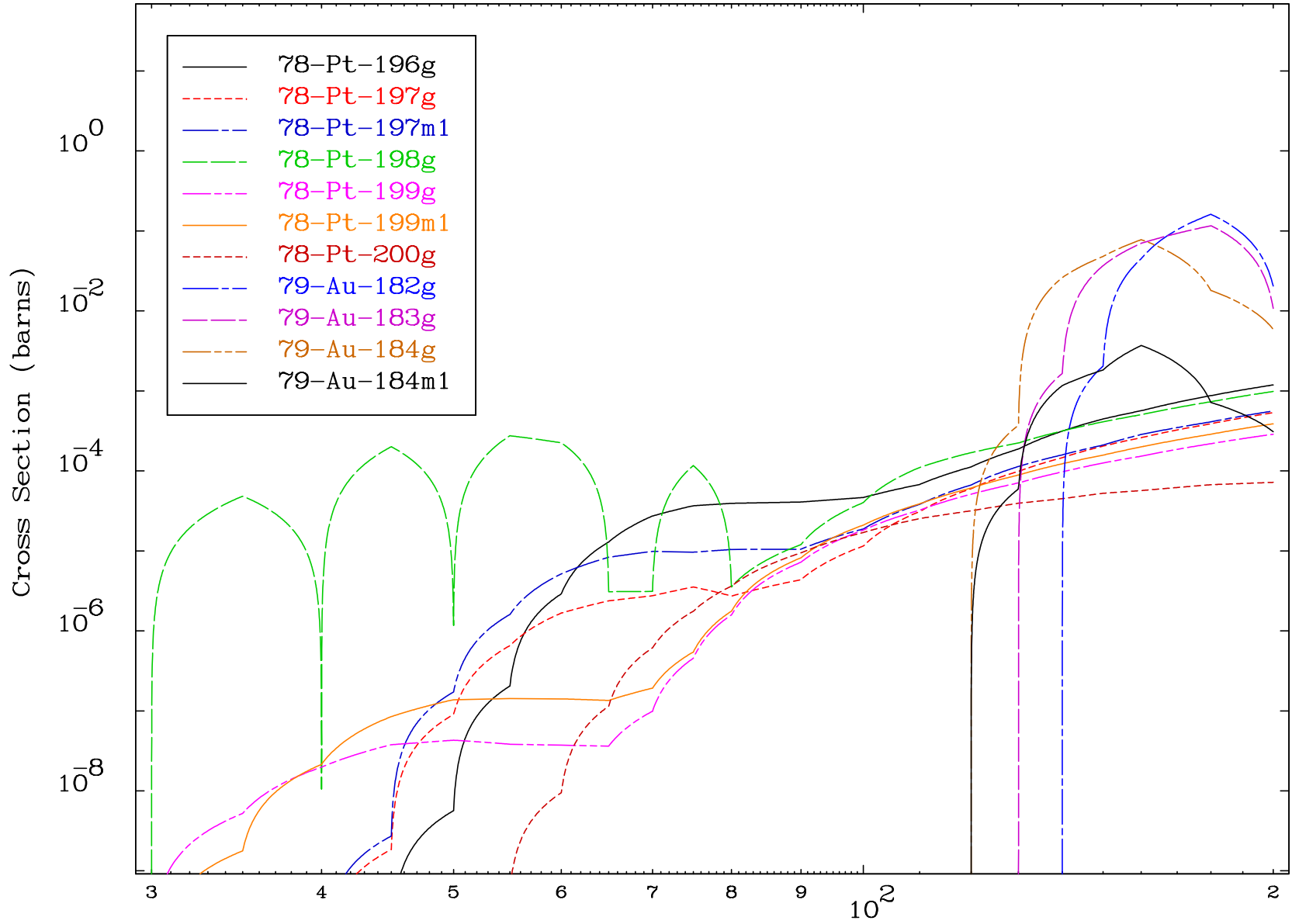


Radionuclide Production Cross Section

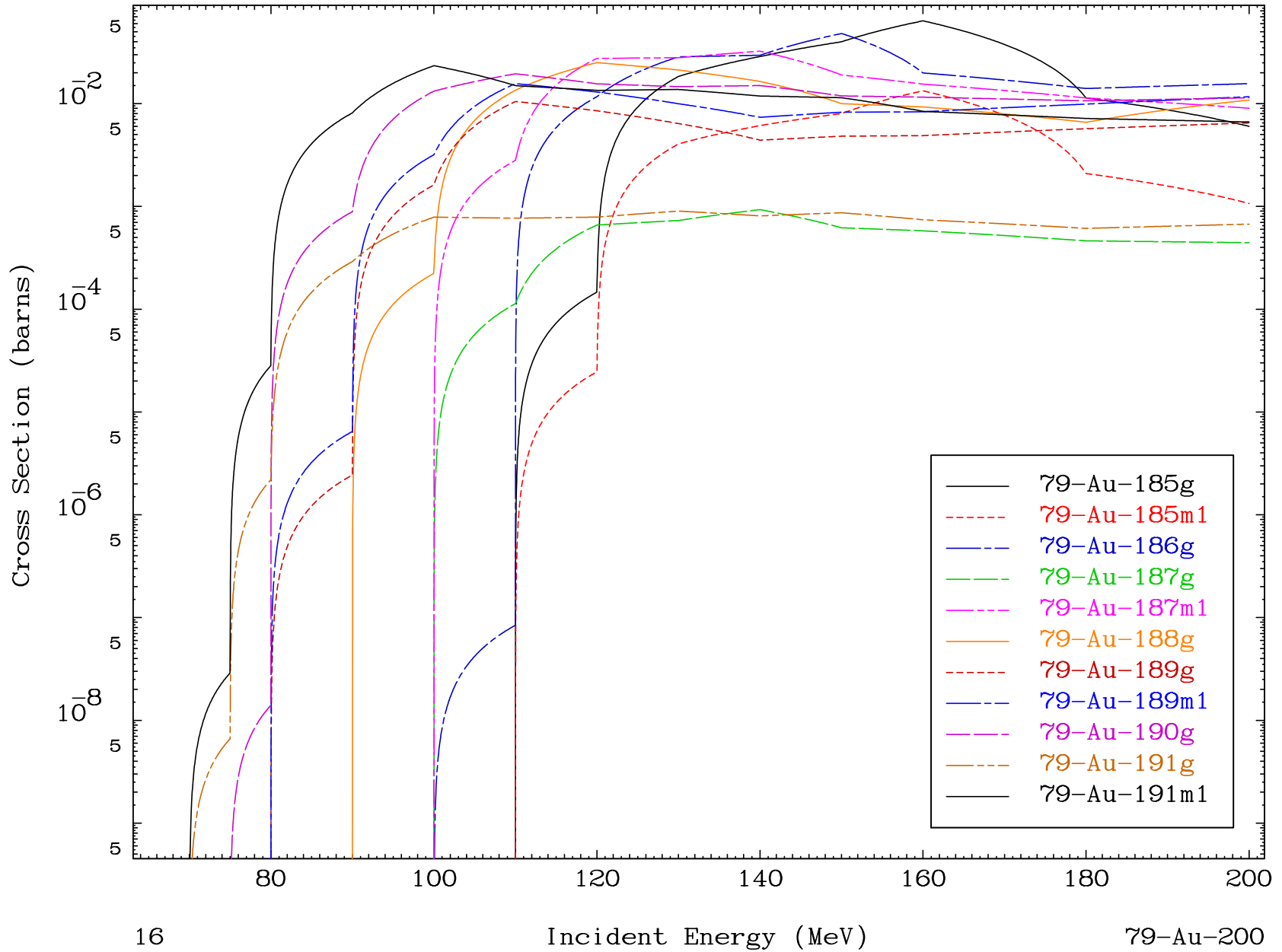


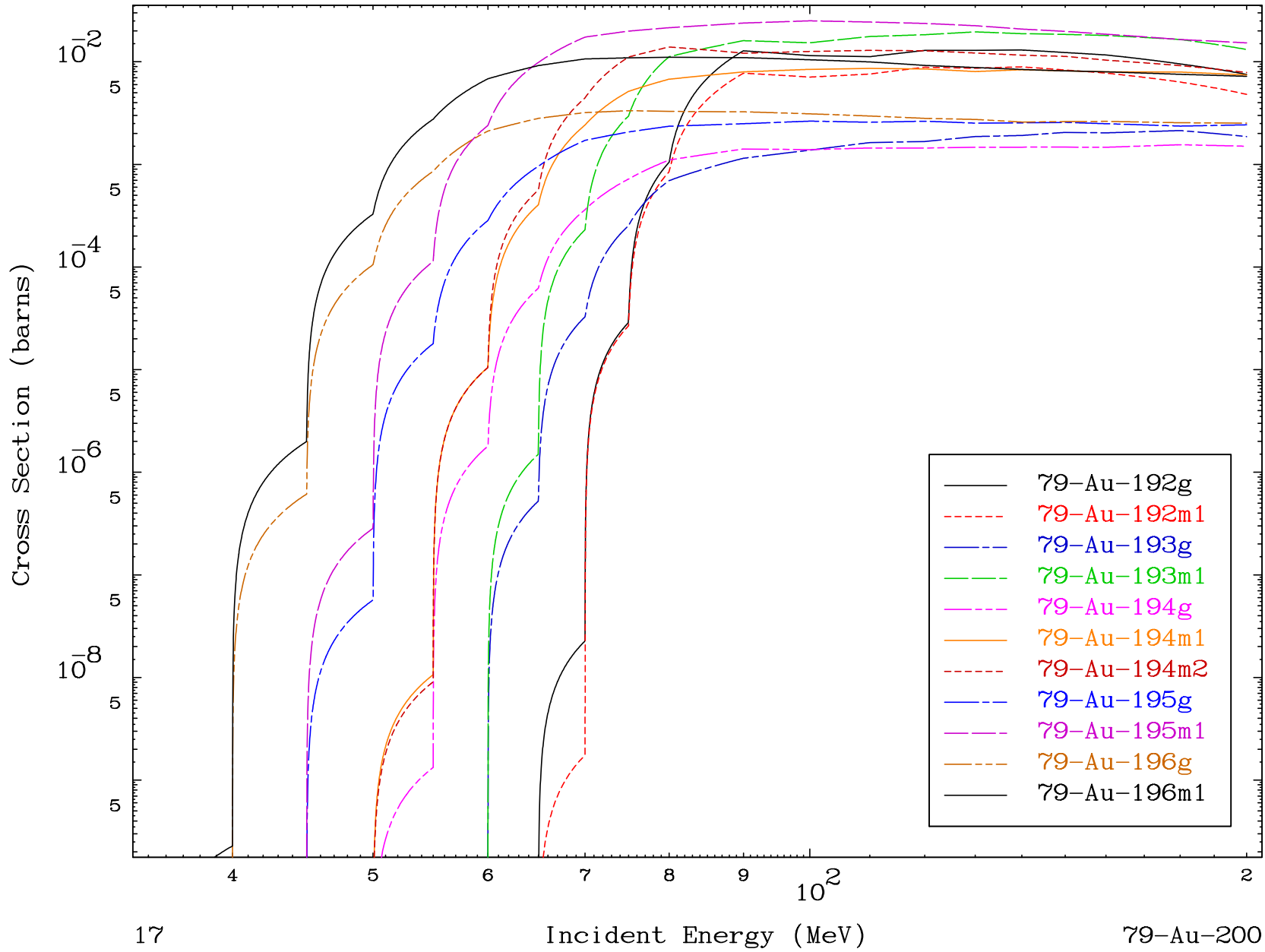


Radionuclide Production Cross Section



Radionuclide Production Cross Section

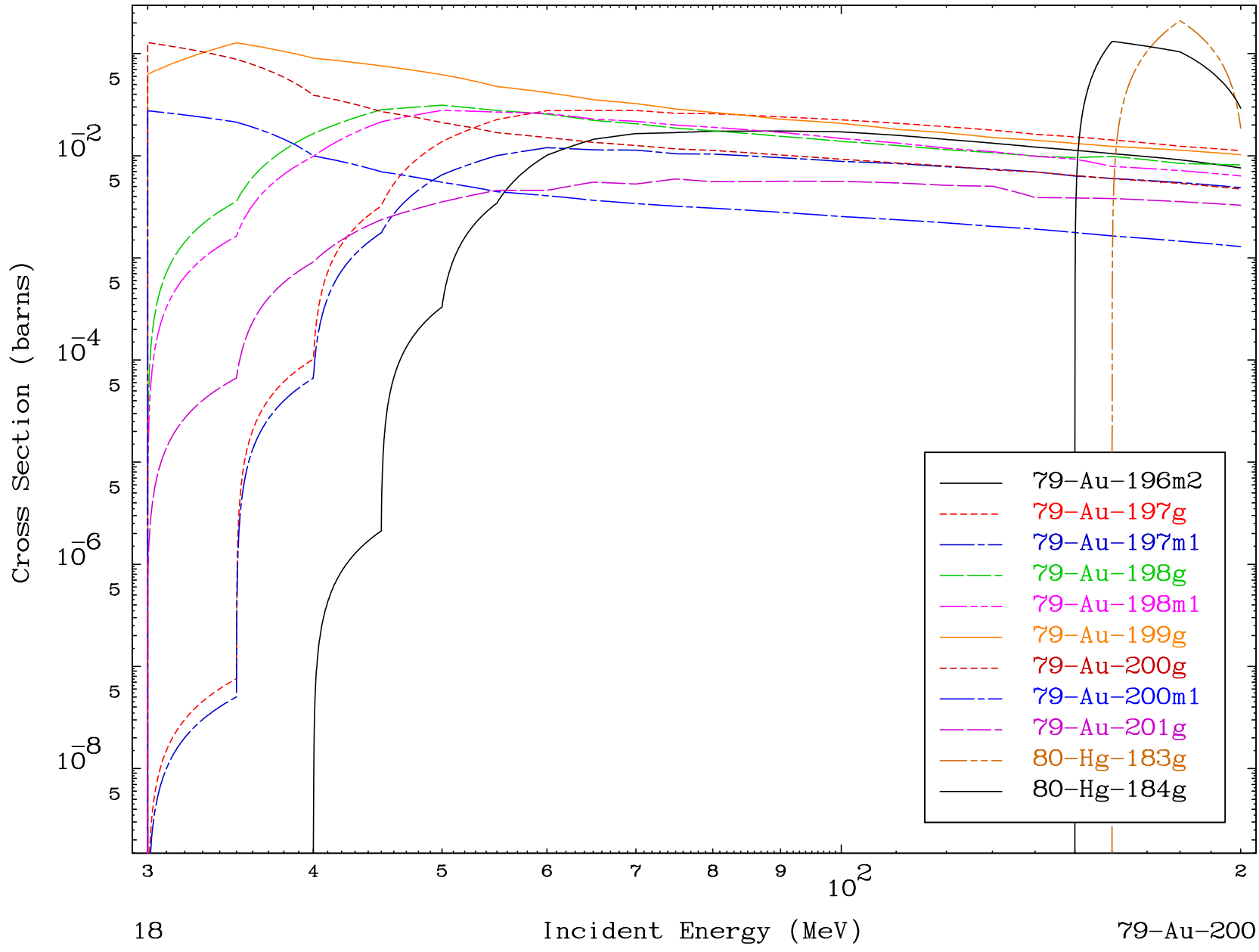




MAT 7935

(α , remainder)
Radionuclide Production Cross Section

79-Au-200

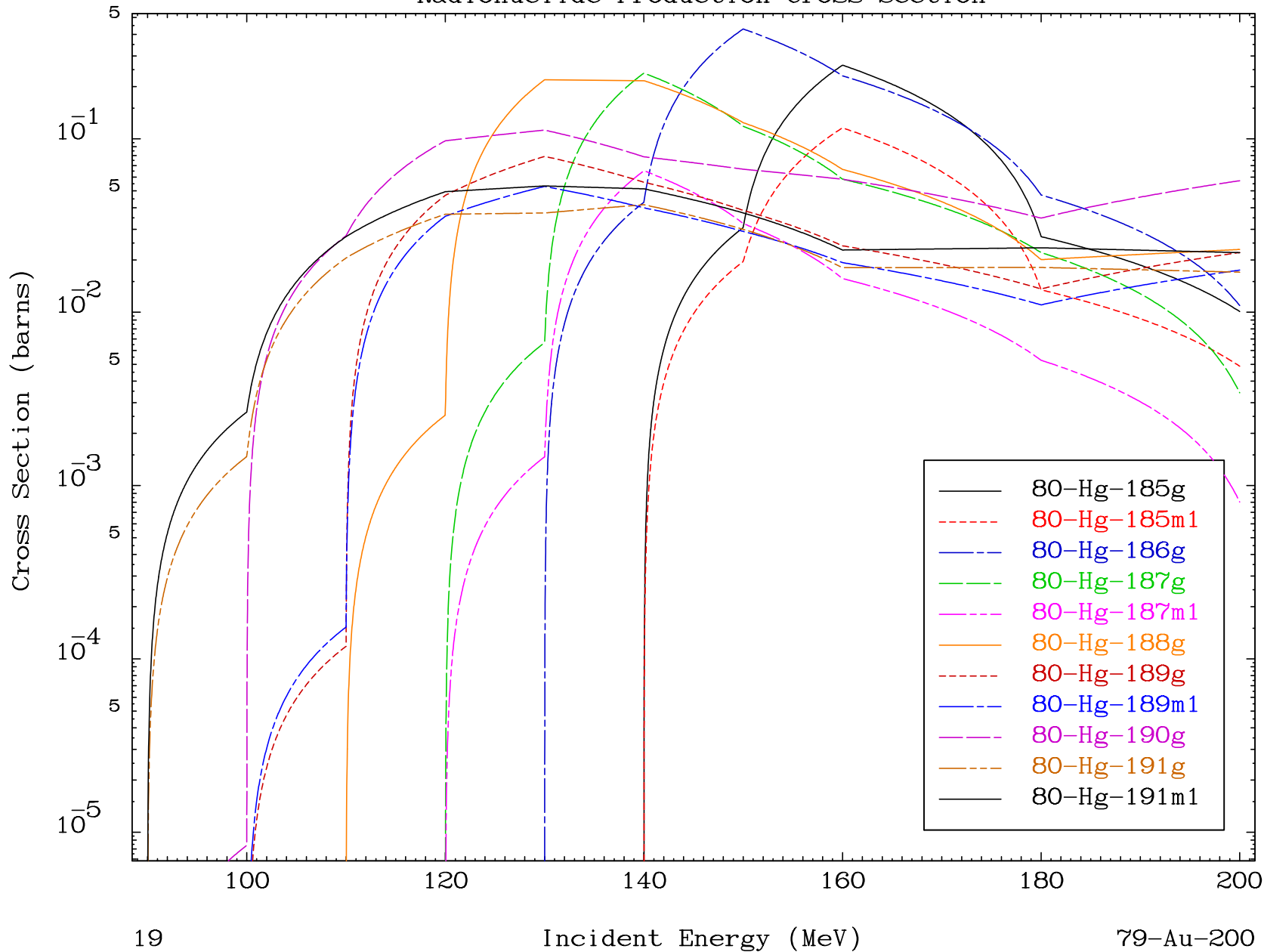


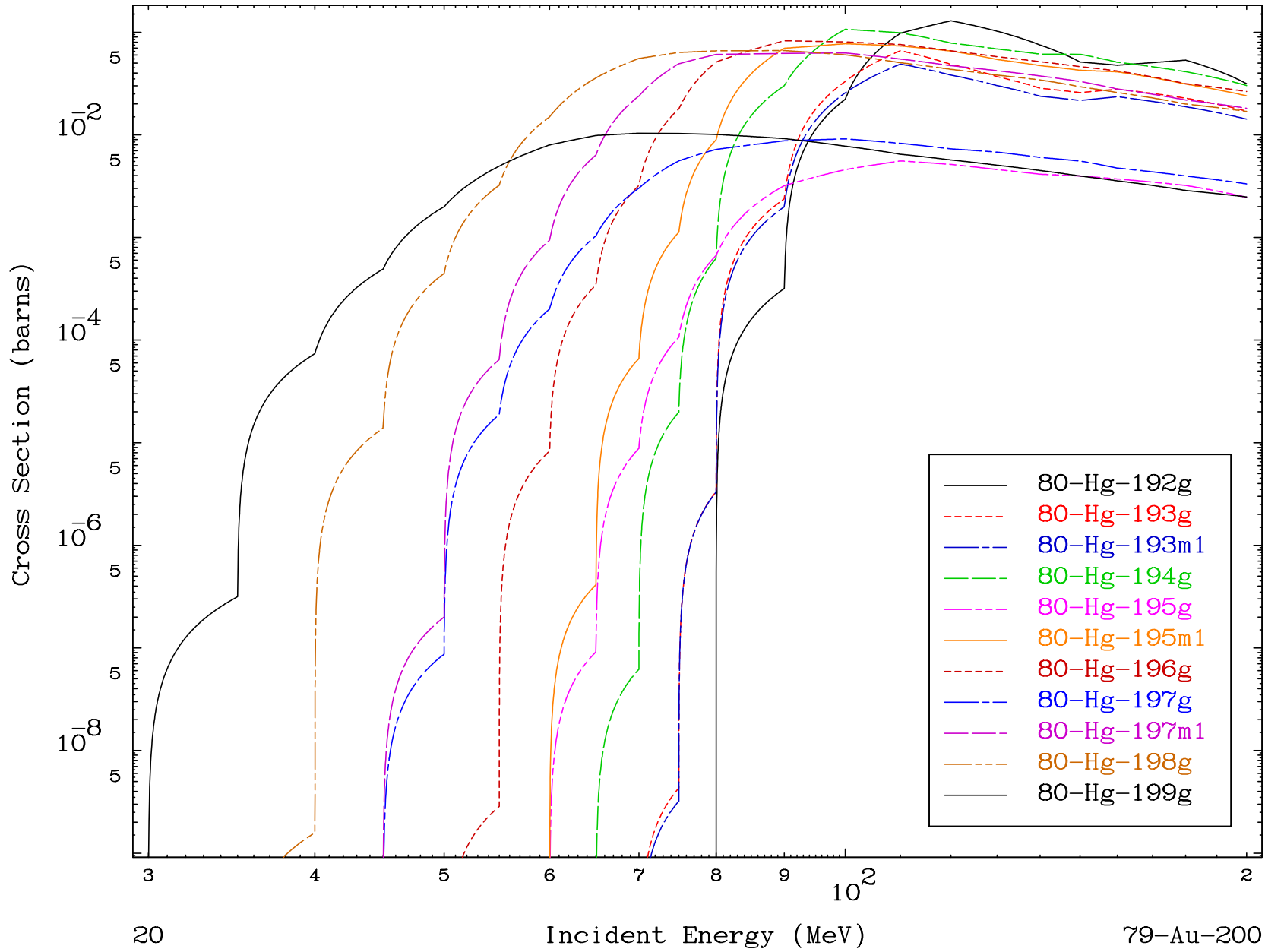
MAT 7935

(α , remainder)

79-Au-200

Radionuclide Production Cross Section



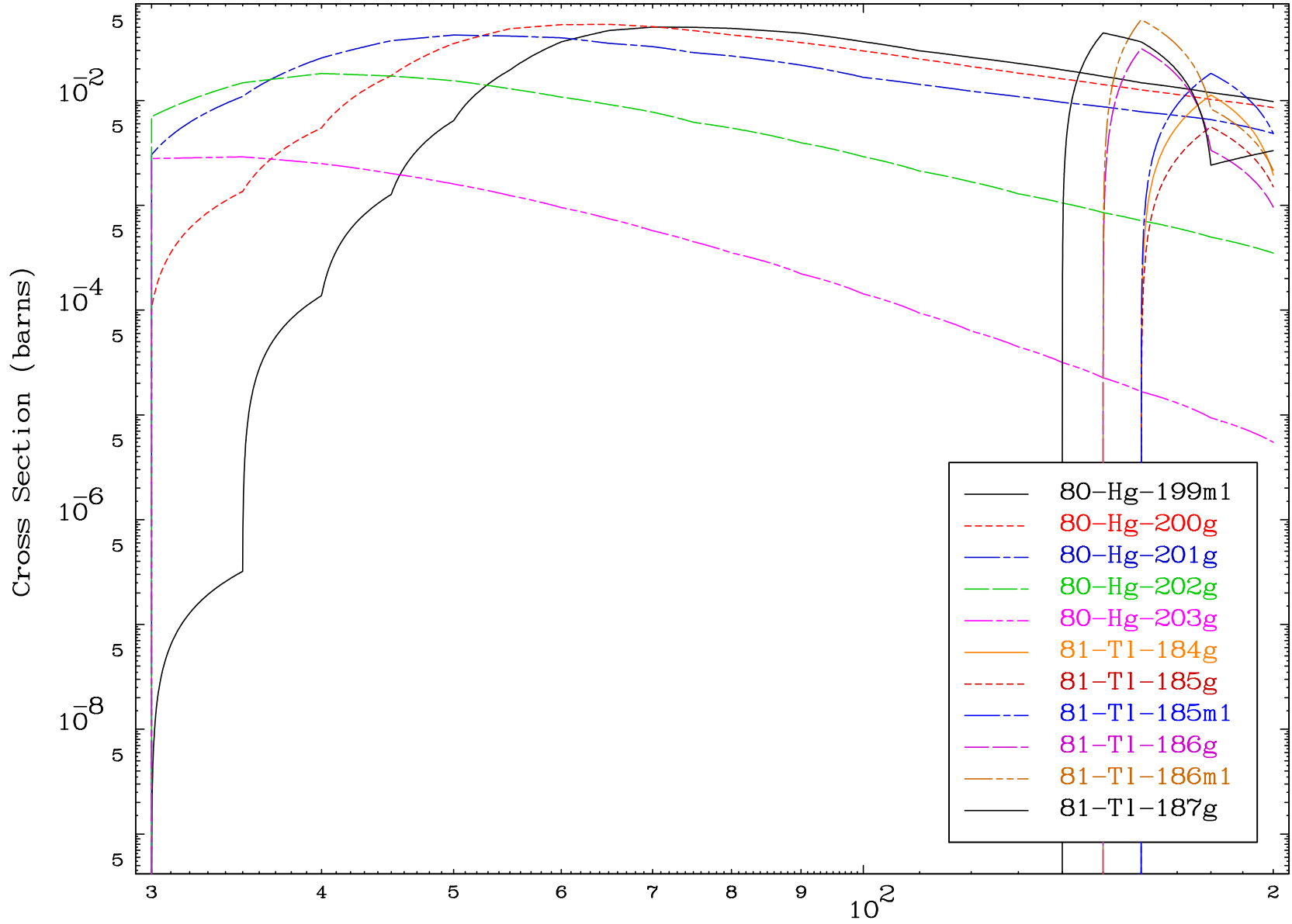


MAT 7935

(α , remainder)

79-Au-200

Radionuclide Production Cross Section

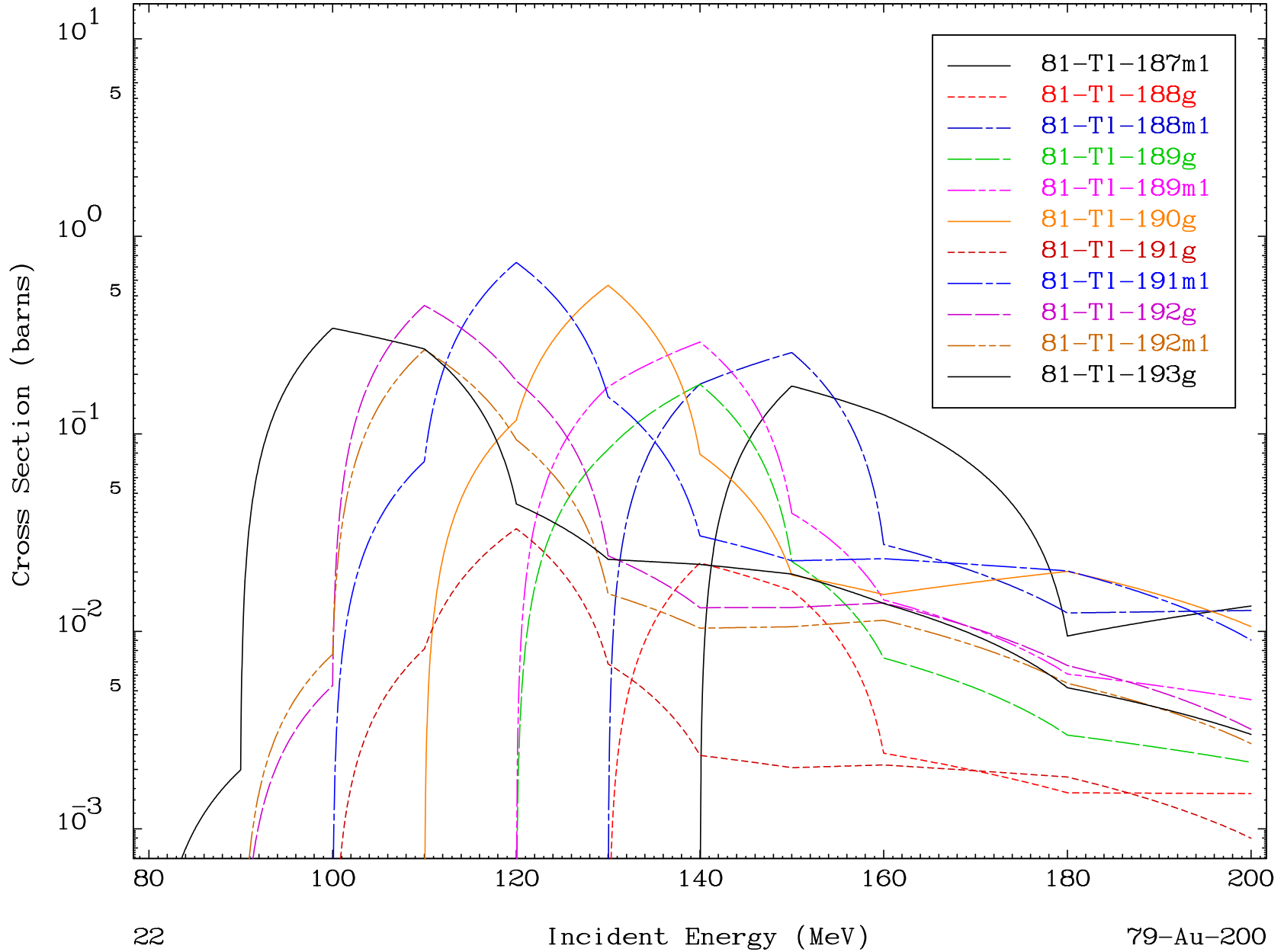


21

Incident Energy (MeV)

79-Au-200

Radionuclide Production Cross Section

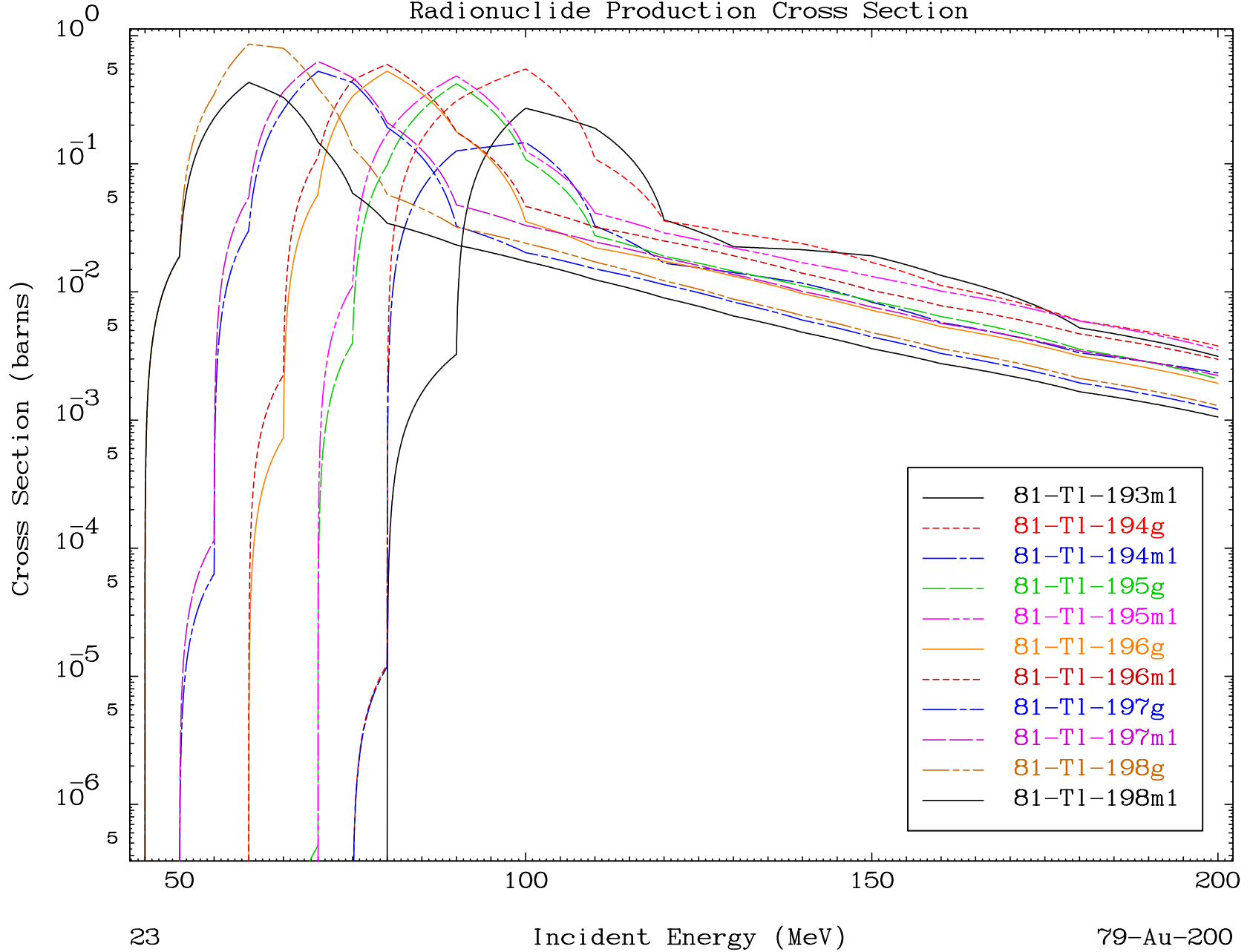


MAT 7935

(α , remainder)

79-Au-200

Radionuclide Production Cross Section

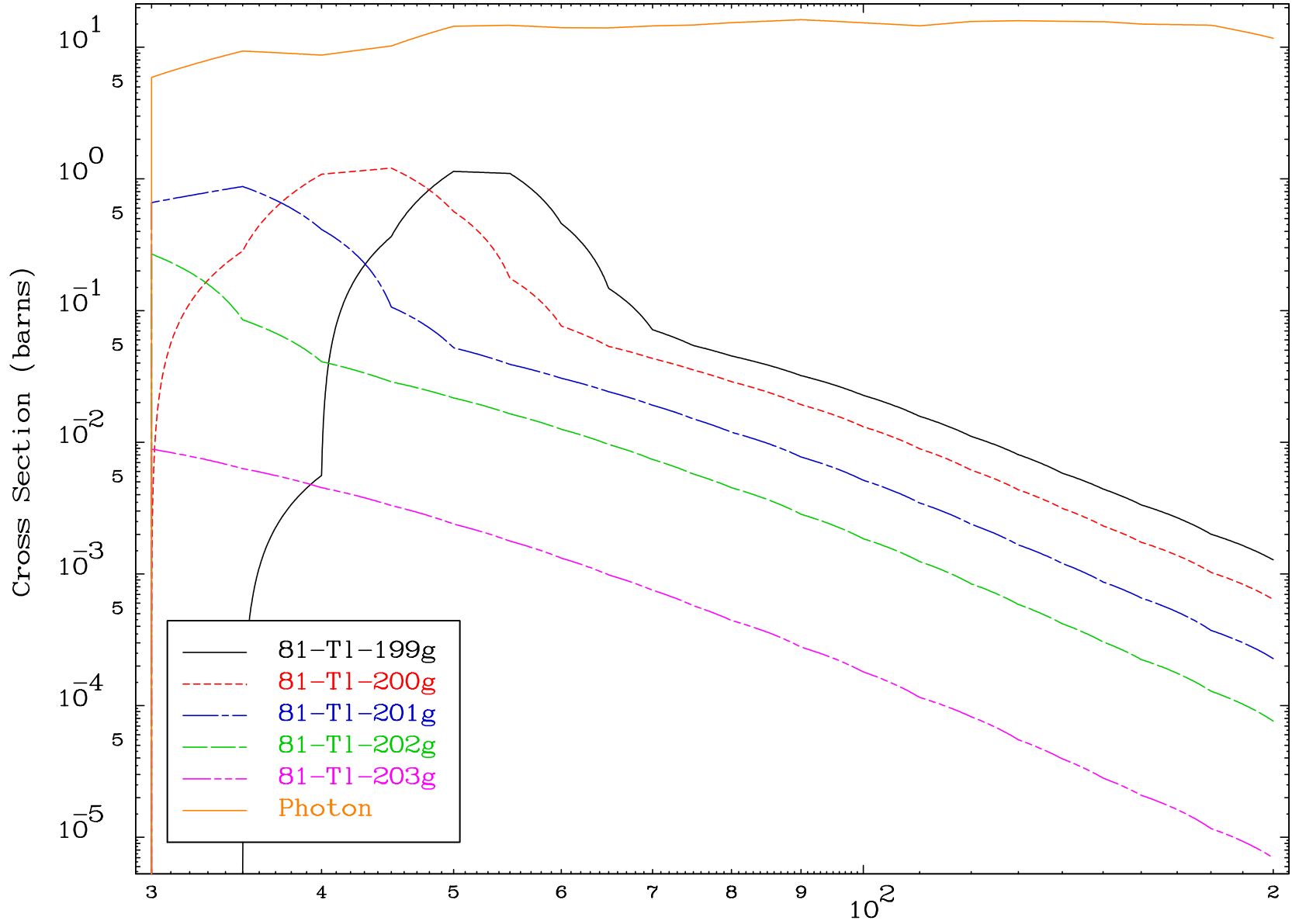


23

Incident Energy (MeV)

79-Au-200

Radionuclide Production Cross Section

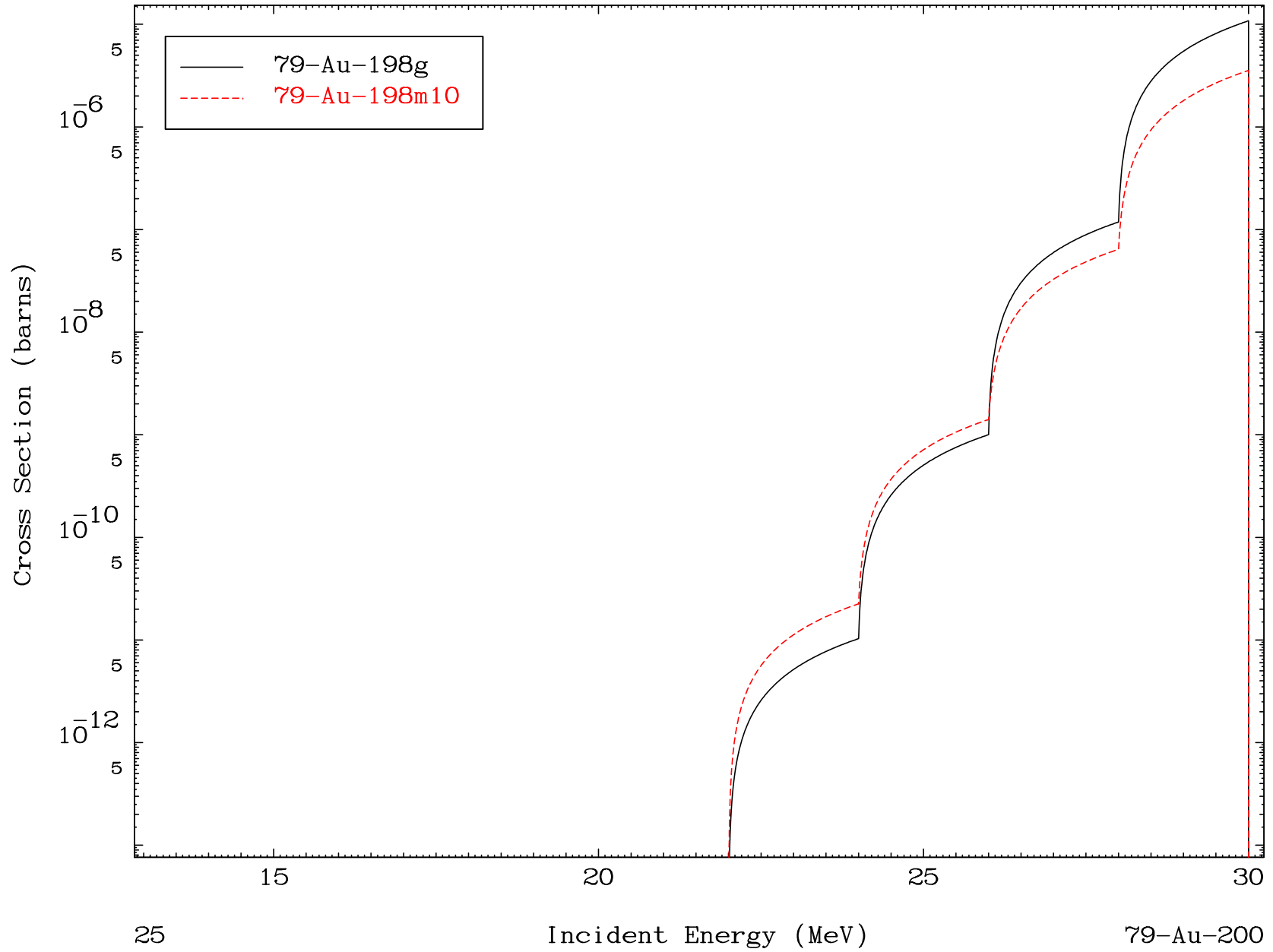


MAT 7935

($\alpha, 2n$) α

79-Au-200

Radionuclide Production Cross Section



MAT 7935

(α, α)

79-Au-200

Radionuclide Production Cross Section

